

Fig. 2. Projection of the structure along [001]. The *a* axis runs horizontally.

average of the three others, which are not significantly different. (Accepted values are 1.38 Å for C–mono F and 1.33 Å for C–poly F bond lengths.) It is tempting to link this lengthening with the short intermolecular distance between the methyl carbon C(21) and F(27) which is 3.12 Å, and thus 0.23 Å shorter than the sum of van der Waals radii (CH<sub>3</sub>, 2.0 Å and F 1.35 Å. All other intermolecular distances are normal.

The packing is illustrated in Fig. 2.

The authors wish to thank Dr P. Nelson, Syntex Research, Institute of Organic Chemistry for helpful discussions on the chemical aspects of the molecule.

#### References

- BRUTCHER, F. V. & LEOPOLD, E. J. (1966). *J. Amer. Chem. Soc.* **88**, 3165.
- CHRISTENSEN, A. T. (1970). *Acta Cryst.* **B26**, 1519.
- DAVIS, M. & HASSEL, O. (1963). *Acta Chem. Scand.* **17**, 1181.
- HANSON, H. P., HERMAN, F., LEA, J. D. & SKILLMAN, S. (1964). *Acta Cryst.* **17**, 1040.
- HIGH, D. F. & KRAUT, J. (1966). *Acta Cryst.* **21**, 88.
- HUGHES, E. W. (1941). *J. Amer. Chem. Soc.* **63**, 1737.
- NORTON, D. A. (1965). *Biophys. J.* **5**, 425.
- NORTON, D. A., KARTHA, G. & LU CHIA TANG. (1963). *Acta Cryst.* **16**, 89.
- SIM, G. A. (1960). *Acta Cryst.* **13**, 511.
- SIM, G. A. (1965). *J. Chem. Soc.* p. 5974.
- SPARKS, R. A. (1961). In *Computing Methods and the Phase Problem in X-ray Crystal Analysis*, p. 170, paper 17. London: Pergamon Press.
- SUNDER-PLOSSMAN, P., NELSON, P. H., BOYLE, P. H., CRUZ, A., IRIARTE, J., CRABBÉ, P., ZDERIC, J. A., EDWARDS, J. A. & FRIED, J. H. (1969). *J. org. Chem.* **34**, 3779.
- THOM, E. & CHRISTENSEN, A. T. (1970). *Acta Cryst.* In the press.

*Acta Cryst.* (1971). **B27**, 799

## Structure Cristalline et Moléculaire de l' $\alpha$ -*p*-Chlorophenyl- $\alpha$ -methyl- $\alpha'$ -cyanosuccinimide

PAR J. L. BAUDOUR ET J. C. MESSEGER

Groupe de Recherches de Physicochimie Structurale,  
Equipe Associée au C.N.R.S. n° 15, Faculté des Sciences de Rennes, France

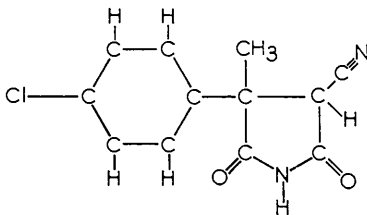
(Reçu le 20 mai 1970, revu le 31 août 1970)

Crystals of  $\alpha$ -*p*-chlorophenyl- $\alpha$ -methyl- $\alpha'$ -cyanosuccinimide are monoclinic, space group  $P2_1/c$  with  $a = 15.53$ ,  $b = 8.59$ ,  $c = 8.86$  Å,  $\beta = 111.25^\circ$ ,  $Z = 4$ , formula  $C_{12}H_9O_2N_2Cl$ . The structure has been determined from three-dimensional X-ray diffraction data and refined by the least-squares method to  $R = 0.066$ . The phenyl group is planar but the two *para* substituents (chlorine and carbon) seem significantly displaced from the ring plane. In the five-membered ring considerable distortion occurs as a result of steric hindrance between the methyl group and the neighbouring cyano group.

#### Introduction

L'étude de cette succinimide a été entreprise afin de définir à quel isomère géométrique aboutissait la synthèse chimique, les substituants méthyl et nitrile de

l'hétérocycle pouvant se placer en position *cis* ou *trans*. Cette détermination de la configuration moléculaire du groupement succinimide doit permettre une étude quantitative du couplage des vibrations des deux carbonyles en infrarouge (Fayat, 1969).



Données expérimentales

Le produit a été cristallisé par évaporation lente d'une solution dans l'éthanol à 95°. Les cristaux obtenus sont prismatiques, transparents, de forme allongée suivant c.

Point de fusion  $F = 186^\circ\text{C}$

Données cristallographiques:

système monoclinique:

Tableau 1. Facteurs de structure observés et calculés

h	k	l	F <sub>o</sub>	F <sub>c</sub>	h	k	l	F <sub>o</sub>	F <sub>c</sub>	h	k	l	F <sub>o</sub>	F <sub>c</sub>	h	k	l	F <sub>o</sub>	F <sub>c</sub>
-1	0	2	17.6	20.5	0	1	2	10.3	9.2	7	1	2	25.4	24.6	-7	2	5	26.4	26.8
-1	0	2	97.1	93.0	0	1	2	24.6	24.6	8	1	2	8.8	12.7	8	2	5	28.7	31.0
-1	0	2	161.9	169.6	-1	1	2	71.1	67.8	9	1	2	30.9	31.4	-9	2	5	4.7	2.6
-1	0	2	131.5	131.8	-1	1	2	22.4	22.4	10	1	2	0.0	0.1	-10	2	5	27.3	29.7
-1	0	2	35.7	37.7	-1	1	2	137.9	138.5	11	1	2	26.7	22.1	-11	2	5	0.0	0.7
-1	0	2	39.9	36.2	-1	1	2	36.0	34.8	12	1	2	0.0	0.2	-12	2	5	26.8	26.3
-1	0	2	61.2	56.8	-1	1	2	48.4	72.0	13	1	2	19.2	19.5	-13	2	5	0.0	3.5
-1	0	2	39.7	43.6	-1	1	2	11.8	10.6	14	1	2	13.8	12.9	-14	2	5	18.2	18.6
-1	0	2	29.8	27.8	-1	1	2	13.9	15.0	15	1	2	0.0	0.2	-15	2	5	0.0	0.3
-1	0	2	94.2	93.7	-1	1	2	30.0	18.0	16	1	2	0.0	0.2	-16	2	5	13.2	13.2
-1	0	2	59.7	63.6	-1	1	2	52.3	52.9	17	1	2	10.9	8.7	-17	2	5	3.4	3.4
-1	0	2	71.0	71.0	-1	1	2	0.0	0.0	18	1	2	4.6	2.9	-18	2	5	0.0	0.0
-1	0	2	32.4	33.7	-1	1	2	48.8	48.0	19	1	2	82.5	79.6	-19	2	5	0.0	2.2
-1	0	2	11.4	11.7	-1	1	2	36.2	36.6	20	1	2	9.0	7.9	-20	2	5	30.7	31.2
-1	0	2	53.5	53.5	-1	1	2	9.8	11.4	21	1	2	49.9	49.7	-21	2	5	7.5	5.9
-1	0	2	65.5	62.9	-1	1	2	3.9	8.2	22	1	2	84.0	28.8	-22	2	5	0.0	0.0
-1	0	2	71.8	74.1	-1	1	2	19.3	19.7	23	1	2	19.9	20.6	-23	2	5	10.0	10.7
-1	0	2	0.0	1.7	-1	1	2	17.5	13.4	24	1	2	0.0	0.0	-24	2	5	2.6	2.7
-1	0	2	43.7	48.5	-1	1	2	30.6	53.5	25	1	2	18.4	18.2	-25	2	5	0.0	2.0
-1	0	2	0.0	1.7	-1	1	2	0.0	0.0	26	1	2	0.0	0.0	-26	2	5	0.0	0.0
-1	0	2	0.0	1.7	-1	1	2	138.7	139.3	27	1	2	23.0	21.4	-27	2	5	0.0	2.6
-1	0	2	81.1	81.1	-1	1	2	81.0	80.5	28	1	2	10.2	11.7	-28	2	5	5.5	9.1
-1	0	2	0.0	1.7	-1	1	2	17.5	13.4	29	1	2	0.0	0.0	-29	2	5	0.0	0.0
-1	0	2	33.2	33.9	-1	1	2	11.7	12.2	30	1	2	32.2	34.4	-30	2	5	27.7	30.8
-1	0	2	32.3	34.9	-1	1	2	28.3	28.2	31	1	2	49.8	47.3	-31	2	5	49.6	51.1
-1	0	2	5.9	7.5	-1	1	2	20.3	20.2	32	1	2	48.6	48.7	-32	2	5	5.6	5.2
-1	0	2	31.8	34.0	-1	1	2	27.1	30.2	33	1	2	0.0	0.0	-33	2	5	0.0	0.6
-1	0	2	48.6	41.3	-1	1	2	45.8	48.9	34	1	2	46.9	45.3	-34	2	5	33.3	35.9
-1	0	2	21.0	21.8	-1	1	2	36.5	35.2	35	1	2	0.0	0.0	-35	2	5	2.8	0.0
-1	0	2	57.2	52.2	-1	1	2	28.1	28.9	36	1	2	0.0	0.0	-36	2	5	31.6	30.8
-1	0	2	81.9	11.8	-1	1	2	84.2	59.7	37	1	2	0.0	0.0	-37	2	5	0.0	0.0
-1	0	2	55.7	54.0	-1	1	2	80.5	81.7	38	1	2	21.2	21.8	-38	2	5	71.6	69.3
-1	0	2	11.2	9.4	-1	1	2	9.9	9.9	39	1	2	17.9	19.0	-39	2	5	17.9	19.0
-1	0	2	0.0	0.0	-1	1	2	47.5	47.5	40	1	2	25.0	27.5	-40	2	5	0.0	0.0
-1	0	2	62.9	66.3	-1	1	2	52.9	54.0	41	1	2	10.2	9.3	-41	2	5	33.8	32.8
-1	0	2	0.0	0.0	-1	1	2	8.0	8.0	42	1	2	0.0	0.0	-42	2	5	0.0	0.0
-1	0	2	70.8	71.2	-1	1	2	72.9	74.6	43	1	2	89.7	86.7	-43	2	5	0.0	0.0
-1	0	2	0.0	0.0	-1	1	2	39.2	39.2	44	1	2	55.7	55.1	-44	2	5	0.0	0.0
-1	0	2	0.0	0.0	-1	1	2	16.4	16.2	45	1	2	0.0	0.0	-45	2	5	0.0	0.0
-1	0	2	22.0	20.0	-1	1	2	24.0	23.0	46	1	2	0.0	0.0	-46	2	5	0.0	0.0
-1	0	2	37.4	36.7	-1	1	2	35.7	36.6	47	1	2	16.2	17.0	-47	2	5	28.8	28.9
-1	0	2	41.1	39.2	-1	1	2	12.6	12.6	48	1	2	0.0	0.0	-48	2	5	0.0	0.0
-1	0	2	0.0	0.0	-1	1	2	17.7	16.2	49	1	2	15.3	15.7	-49	2	5	0.0	0.2
-1	0	2	0.0	0.0	-1	1	2	9.0	12.5	50	1	2	16.8	12.7	-50	2	5	0.0	0.2
-1	0	2	0.0	0.0	-1	1	2	3.9	3.9	51	1	2	17.3	15.3	-51	2	5	0.0	0.2
-1	0	2	0.0	0.0	-1	1	2	89.3	80.9	52	1	2	36.6	35.3	-52	2	5	0.0	0.0
-1	0	2	0.0	0.0	-1	1	2	4.6	9.2	53	1	2	0.0	0.0	-53	2	5	0.0	0.0
-1	0	2	0.0	0.0	-1	1	2	88.4	88.8	54	1	2	0.0	0.0	-54	2	5	0.0	0.0
-1	0	2	0.0	0.0	-1	1	2	55.1	55.5	55	1	2	15.8	15.8	-55	2	5	0.0	0.0
-1	0	2	41.1	41.7	-1	1	2	23.1	30.7	56	1	2	0.0	0.0	-56	2	5	0.0	0.0
-1	0	2	11.2	11.6	-1	1	2	55.2	52.5	57	1	2	17.2	17.5	-57	2	5	0.0	0.0
-1	0	2	0.0	0.0	-1	1	2	18.2	18.1	58	1	2	0.0	0.0	-58	2	5	0.0	0.0
-1	0	2	35.9	35.3	-1	1	2	40.2	40.7	59	1	2	9.5	9.3	-59	2	5	0.0	0.0
-1	0	2	13.2	12.6	-1	1	2	0.0	0.0	60	1	2	17.1	17.1	-60	2	5	0.0	0.0
-1	0	2	15.9	16.7	-1	1	2	25.5	26.9	61	1	2	37.6	39.8	-61	2	5	0.0	0.0
-1	0	2	12.4	10.9	-1	1	2	3.1	3.1	62	1	2	47.7	45.8	-62	2	5	0.0	0.0
-1	0	2	0.0	0.0	-1	1	2	18.0	19.4	63	1	2	20.2	20.7	-63	2	5	0.0	0.0
-1	0	2	0.0	0.0	-1	1	2	25.0	25.0	64	1	2	0.0	0.0	-64	2	5	0.0	0.0
-1	0	2	0.0	0.0	-1	1	2	0.0	0.0	65	1	2	0.0	0.0	-65	2	5	0.0	0.0
-1	0	2	37.1	37.7	-1	1	2	11.8	9.6	66	1	2	19.7	18.2	-66	2	5	0.0	0.0
-1	0	2	10.7	10.7	-1	1	2	35.8	34.8	67	1	2	21.7	21.7	-67	2	5	0.0	0.0
-1	0	2	0.0	0.0	-1	1	2	11.4	8.1	68	1	2	18.6	16.9	-68	2	5	0.0	0.0
-1	0	2	0.0	0.0	-1	1	2	0.0	0.0	69	1	2	0.0	0.0	-69	2	5	0.0	0.0
-1	0	2	0.0	0.0	-1	1	2	0.0	0.0	70	1	2	0.0	0.0	-70	2	5	0.0	0.0
-1	0	2	18.3	18.1	-1	1	2	0.0	0.0	71	1	2	0.0	0.0	-71	2	5	0.0	0.0
-1	0	2	4.8	5.2	-1	1	2	30.7	31.7	72	1	2	0.0	0.0	-72	2	5	0.0	0.0
-1	0	2	8.6	6.1	-1	1	2	3.4	3.7	73	1	2	0.0	0.0	-73	2	5	0.0	0.0
-1	0	2	18.7	18.7	-1	1	2	17.7	18.5	74	1	2	18.6	18.5	-74	2	5	0.0	0.0
-1	0	2	0.0	3.1	-1	1	2	0.0	0.0	75	1	2	0.0	0.0	-75	2	5	0.0	0.0
-1	0	2	32.1	32.4	-1	1	2	9.9	10.7	76	1	2	0.0	0.0	-76	2	5	0.0	0.0
-1	0	2	18.0	18.1	-1	1	2	0.0	0.0	77	1	2	18.7	18.0	-77	2	5	0.0	0.0
-1	0	2	100.4	104.0	-1	1	2	0.0	0.0	78	1	2	19.0	14.0	-78	2	5	0.0	0.0
-1	0	2	51.1	50.9	-1	1	2	29.5	29.9	79	1	2	0.0	0.0	-79	2	5	0.0	0.0
-1	0	2	78.5	75.3	-1	1	2	12.8	11.5	80	1	2	11.0	8.4	-80	2	5	0.0	0.0
-1	0	2	119.9	118.6	-1	1	2	0.0	0.0	81	1	2	0.0	0.0	-81	2	5	0.0	0.0
-1	0	2	24.6	25.2	-1	1	2	19.5	20.8	82	1	2	0.0	0.0	-82	2	5	0.0	0.0
-1	0	2	8.0	8.0	-1	1	2	35.5	35.8	83	1	2	0.0	0.0	-83	2	5	0.0	0.0
-1	0	2	0.0	0.0	-1	1	2	80.8	80.0	84	1	2	0.0	0.0	-84	2	5	0.0	0.0
-1	0	2	8.8	12.4	-1	1	2	35.4	36.7	85	1	2	40.5	42.6	-85	2			



dération unitaires, permettait d'obtenir un index d'accord  $R=0,13$  et, avec des facteurs d'agitation thermique anisotrope,  $R=0,084$ .

Cette structure présentait deux longueurs de liaison anormalement grandes: C(12)–C(15) (1,59,  $\sigma=0,02$  Å) et C(12)–C(17) (1,59,  $\sigma=0,02$  Å).

Ceci résultait probablement d'erreurs systématiques dues à l'absorption des rayons X par l'échantillon et peut-être au nombre insuffisant de données (1003 réflexions) pour le nombre de paramètres à calculer.

Les structures des dérivés bromé et chloré se révélant isomorphes, les mesures ont été reprises sur ce dernier dans les conditions expérimentales déjà décrites, qui éliminaient pratiquement l'absorption (raie  $K\alpha$  du Mo) et augmentaient le nombre de données (1863 réflexions au lieu de 1003). L'affinement conduit à partir des coordonnées du dérivé bromé a ramené dès le premier cycle, les longueurs de liaison aux valeurs suivantes:

$$C(12)–C(17)=1,55 \text{ \AA} \text{ et } C(12)–C(15)=1,56 \text{ \AA}.$$

L'affinement utilisant les facteurs d'agitation thermique individuels et isotropes a permis d'obtenir une valeur  $R=0,15$  pour les réflexions observées. Les calculs ont été poursuivis avec des facteurs d'agitation thermique

anisotrope et avec le schéma de pondération suivant:

$$w = F_o/10 \text{ pour } F_o < 10; w = 1 \text{ pour } 10 < F_o < 30; \\ w = 30/F_o \text{ pour } F_o > 30.$$

Après 4 cycles, la valeur de l'index de reliabilité est  $R=0,086$  (pour les taches observées). Une fonction différence tridimensionnelle a alors permis de localiser les neuf atomes d'hydrogène de la molécule. En affectant à ceux-ci les coordonnées trouvées sur cette fonction et un facteur d'agitation thermique isotrope  $B=5 \text{ \AA}^2$  dans le cycle benzénique et  $B=4 \text{ \AA}^2$  dans l'hétérocycle, l'index de reliabilité prend la valeur  $R=0,071$ .

L'affinement, poursuivi par la méthode des moindres carrés, alternativement sur les atomes d'hydrogène et sur les autres atomes, donne une valeur finale  $R=0,066$ . Dans le dernier cycle, les variations des coordonnées des atomes autres que les atomes d'hydrogène n'excèdent pas 0,3 fois la déviation standard. L'affinement des facteurs d'agitation thermique des atomes d'hydrogène n'influe quasiment pas sur la valeur de  $R$ . Pour H(1), H(5) et H(7), ce facteur devient inférieur à celui de l'atome auquel ils sont liés. Ceci résulte probablement de l'utilisation d'un facteur de diffusion incorrect pour les atomes d'hydrogène liés.

Tableau 2. Coordonnées atomiques et paramètres d'agitation thermique, avec les déviations standards

$B$  facteur d'agitation thermique isotrope.

Le facteur d'agitation thermique est égal à

$$\exp [-(b_{11}h^2 + b_{22}k^2 + b_{33}l^2 + 2b_{12}hk + 2b_{13}hl + 2b_{23}kl)].$$

	$x$ ( $\times 10^5$ )	$y$ ( $\times 10^5$ )	$z$ ( $\times 10^5$ )	$B$	$b_{11}$ ( $\times 10^5$ )	$b_{12}$ ( $\times 10^5$ )	$b_{13}$ ( $\times 10^5$ )	$b_{22}$ ( $\times 10^5$ )	$b_{23}$ ( $\times 10^5$ )	$b_{33}$ ( $\times 10^5$ )
Cl(1)	–8405	62123	–33328	4,50 Å <sup>2</sup>	342	113	118	2481	–17	1394
	7	18	14	0,06	8	13	10	41	25	27
O(2)	38087	47800	–7495	3,59	361	–8	341	1920	–190	1188
	20	41	34	0,12	21	32	28	86	58	62
O(3)	50694	68302	42938	4,29	419	–134	232	1969	–549	1571
	21	43	39	0,14	24	36	33	92	67	77
N(4)	46321	57757	17442	3,10	347	3	310	1361	–127	1155
	23	43	40	0,13	24	34	32	85	60	70
N(5)	30806	56683	52760	4,70	732	25	441	1862	–174	1281
	31	56	49	0,19	40	52	47	116	78	87
C(6)	3062	60096	–20334	3,51	346	60	163	1433	8	1195
	28	55	50	0,17	28	42	37	106	76	85
C(7)	9151	52909	–25984	3,89	373	29	225	2094	–273	1192
	31	65	53	0,19	31	50	40	133	90	88
C(8)	18230	50596	–15495	3,56	357	17	214	1632	–247	1255
	30	58	52	0,17	29	44	39	116	82	87
C(9)	21149	55525	498	2,67	347	28	250	1041	9	958
	27	49	45	0,14	26	37	34	89	62	73
C(10)	14799	62862	5607	3,63	398	183	250	2050	–98	1114
	30	66	50	0,18	31	51	40	132	86	86
C(11)	5715	65224	–4837	4,21	382	236	195	2361	–355	1247
	31	67	50	0,20	31	54	42	152	96	92
C(12)	30700	51346	12565	2,36	347	23	207	938	–52	826
	26	46	43	0,13	26	36	32	84	60	65
C(13)	38425	52122	5622	2,94	342	70	262	1147	–53	1060
	27	50	48	0,15	27	38	35	92	69	77
C(14)	44881	63332	30888	3,06	344	–22	232	1236	–52	1193
	28	54	49	0,16	27	40	38	98	72	84
C(15)	34488	62814	27038	2,65	337	18	187	1306	–13	736
	26	52	41	0,14	26	39	32	95	63	66
C(16)	32390	59066	41476	3,06	411	115	190	1214	–26	905
	28	51	47	0,15	29	41	36	97	68	77
C(17)	30662	34464	18397	3,26	505	–49	362	843	127	1379
	31	50	53	0,16	34	40	44	90	70	93

Les facteurs de diffusion utilisés sont ceux des *International Tables for X-ray Crystallography* (1962).

Les facteurs de structure observés et calculés sont donnés dans le Tableau 1.

### Description de la structure et discussion

Les distances interatomiques et les angles de valence calculés à partir des coordonnées des Tableaux 2 et 3 sont donnés avec leurs déviations standards (Tableaux 4 et 5, Fig. 1).

Tableau 3. *Coordonnées atomiques et facteurs d'agitation thermique des atomes d'hydrogène, avec les déviations standards*

	<i>x</i> ( $\times 10^4$ )	<i>y</i> ( $\times 10^4$ )	<i>z</i> ( $\times 10^4$ )	<i>B</i> ( $\text{\AA}^2$ )
H(1)	720	4928	-3719	1,99
	42	70	69	1,47
H(2)	2301	4708	-1985	5,68
	43	73	73	1,46
H(3)	1669	6600	1753	5,19
	40	75	72	1,46
H(4)	123	6927	-70	4,19
	39	74	71	1,45
H(5)	5255	5678	1645	2,13
	38	65	66	1,25
H(6)	3236	7300	2284	3,60
	36	63	62	1,27
H(7)	2548	3373	2243	2,50
	37	67	64	1,28
H(8)	2946	2752	894	3,07
	38	67	64	1,25
H(9)	3715	3143	2683	3,49
	37	67	65	1,26

Tableau 4. *Longueurs des liaisons et déviations standards*

Entre parenthèses les longueurs des liaisons corrigées en fonction de l'agitation thermique.

	<i>l</i>	$\sigma(l)$
Cl(1)-C(6)	1,743 $\text{\AA}$ (1,744) $\text{\AA}$	0,003 $\text{\AA}$
C(6)-C(7)	1,367 (1,378)	0,005
C(7)-C(8)	1,393 (1,394)	0,005
C(8)-C(9)	1,388 (1,398)	0,006
C(9)-C(10)	1,377 (1,387)	0,005
C(10)-C(11)	1,393 (1,394)	0,005
C(11)-C(6)	1,356 (1,364)	0,006
C(9)-C(12)	1,523	0,005
C(12)-C(13)	1,535	0,004
C(14)-C(15)	1,524	0,004
C(15)-C(12)	1,553	0,005
C(12)-C(17)	1,540	0,006
C(15)-C(16)	1,465	0,005
C(13)-N(4)	1,379	0,005
C(14)-N(4)	1,375	0,005
C(16)-N(5)	1,131	0,005
C(13)-O(2)	1,202	0,005
C(14)-O(3)	1,199	0,005
C(7)-H(1)	0,98	0,06
C(8)-H(2)	1,00	0,05
C(10)-H(3)	1,02	0,06
C(11)-H(4)	0,96	0,05
N(4)-H(5)	1,01	0,04
C(15)-H(6)	0,96	0,06
C(17)-H(7)	0,99	0,04
C(17)-H(8)	0,99	0,06
C(17)-H(9)	1,05	0,05

Tableau 5. *Angles des liaisons et déviations standards*

	$\theta$	$\sigma(\theta)$
Cl(1)-C(6)-C(7)	118,7 <sup>c</sup>	0,3 <sup>o</sup>
Cl(1)-C(6)-C(11)	119,9	0,2
C(11)-C(6)-C(7)	121,4	0,3
C(6)-C(7)-C(8)	119,1	0,4
C(7)-C(8)-C(9)	120,9	0,3
C(8)-C(9)-C(10)	117,8	0,3
C(9)-C(10)-C(11)	121,4	0,4
C(10)-C(11)-C(6)	119,2	0,3
C(9)-C(12)-C(17)	109,6	0,3
C(17)-C(12)-C(13)	105,9	0,3
C(17)-C(12)-C(15)	111,5	0,3
C(9)-C(12)-C(15)	114,2	0,3
C(9)-C(12)-C(13)	114,3	0,3
C(15)-C(12)-C(13)	100,7	0,3
C(12)-C(13)-N(4)	108,6	0,3
C(13)-N(4)-C(14)	113,6	0,2
N(4)-C(14)-C(15)	106,7	0,3
C(14)-C(15)-C(12)	104,9	0,3
C(12)-C(13)-O(2)	127,4	0,2
N(4)-C(13)-O(2)	123,8	0,3
N(4)-C(14)-O(3)	126,1	0,3
C(15)-C(14)-O(3)	127,1	0,3
C(14)-C(15)-C(16)	111,3	0,3
C(12)-C(15)-C(16)	116,3	0,3
C(6)-C(7)-H(1)	120,9	2,8
C(8)-C(7)-H(1)	119,9	2,9
C(7)-C(8)-H(2)	119,9	3,0
C(9)-C(8)-H(2)	118,2	3,5
C(9)-C(10)-H(3)	119,1	2,5
C(11)-C(10)-H(3)	119,3	2,6
C(10)-C(11)-H(4)	119,9	2,9
C(6)-C(11)-H(4)	120,4	3,6
C(13)-N(4)-H(5)	121,5	2,9
C(14)-N(4)-H(5)	124,6	3,0
C(16)-C(15)-H(6)	112,6	2,8
H(7)-C(17)-H(8)	109,8	4,0
H(7)-C(17)-H(9)	114,9	3,8
H(8)-C(17)-H(9)	107,0	4,0
C(12)-C(17)-H(7)	106,4	3,3
C(12)-C(17)-H(8)	107,8	3,3
C(12)-C(17)-H(9)	110,7	3,1

#### (a) *Le noyau benzénique*

Le plan moyen des 6 atomes du noyau benzénique a pour équation dans le système orthonormé *abc\**, les coordonnées étant exprimées en  $\text{\AA}$ :

$$0,3808X + 0,8841Y - 0,2705Z - 5,4547 = 0.$$

Les écarts à ce plan sont présentés dans le Tableau 6. Le noyau benzénique doit être considéré comme plan (l'écart maximum étant de 0,006  $\text{\AA}$ ). Par contre, les atomes Cl et surtout C(12) s'écartent significativement de ce plan. De telles déviations ont déjà été signalées (Sass & Bugg, 1967; Chawdhury, Hargreaves & Hasan Rizir, 1968; Breton-Lacombe, 1967)). Nous verrons que le déplacement de C(12) est lié à la déformation globale de l'hétérocycle. Le raccourcissement apparent des liaisons C(6)-C(7) (1,367  $\text{\AA}$ ) et C(6)-C(11) (1,356  $\text{\AA}$ ) résulte principalement de l'agitation thermique du cycle benzénique analysée plus loin et particulièrement importante au voisinage de C(6), C(7) et C(11). Les atomes d'hydrogène se placent approximativement dans le plan moyen du cycle benzénique (Tableau 6).

Tableau 6. *Ecart des atomes au plan moyen du cycle benzénique*

Seuls les atomes marqués d'un astérisque entrent dans le calcul du plan moyen.

C(6)*	-0,006	Cl(1)	-0,081
C(7)*	0,003	C(12)	-0,173
C(8)*	0,002	H(1)	0,00
C(9)*	-0,004	H(2)	0,17
C(10)*	0,001	H(3)	-0,06
C(11)*	0,004	H(4)	-0,10

(b) *L'hétérocycle*

L'équation du plan moyen des cinq atomes de l'hétérocycle est:

$$-0,0454X + 0,8815Y - 0,4698Z - 3,3822 = 0.$$

Les écarts à ce plan (Tableau 7) sont très importants. L'hétérocycle n'est donc pas plan (Fig. 2). Cette déformation, beaucoup plus importante que dans la succinimide (Mason, 1961), s'explique par l'encombrement stérique entre le groupement méthyl C(17) et C(16) distants de 2,87 Å. Cet encombrement explique également la position des atomes d'hydrogène du groupement méthyl. H(7) et H(9) sont en effet situés de part et d'autre de la droite passant par C(16) et C(17), (Figs. 1 et 2). Il justifie enfin dans une certaine mesure le fait que l'agitation thermique de H(7), H(8) et H(9) soit du même ordre de grandeur que celle de l'atome de carbone auquel ils sont liés (Tableau 3).

Tableau 7. *Ecart des atomes au plan moyen de l'hétérocycle*

C(12)*	-0,179	C(16)	-0,686
C(13)*	0,084	C(17)	-1,675
N(4)*	0,013	O(2)	0,248
C(14)*	-0,056	O(3)	-0,171
C(15)*	0,121	H(5)	-0,067

Les contraintes imposées aux angles de valence de C(12) et C(15) s'accompagnent d'un affaiblissement et donc d'un allongement des liaisons par rapport à celles trouvées dans la succinimide: C(12)-C(15) (1,553 au lieu de 1,505 Å); C(15)-C(14) (1,524 au lieu de 1,498 Å); C(12)-C(13) (1,535 au lieu de 1,515 Å). Ces valeurs, plus encore que celles de la succinimide, sont incompatibles avec un effet de conjugaison dans l'hétérocycle.

Les atomes O(2), C(13), N(4), C(14) et O(3) se placent approximativement (Tableau 8) dans un plan moyen d'équation:

$$-0,0427X + 0,9189Y - 0,3921Z - 3,7246 = 0.$$

Tableau 8. *Ecart des atomes au plan moyen des carbonyles et de l'azote de l'hétérocycle*

C(13)*	-0,040	O(3)*	-0,002
C(14)*	0,018	C(12)	-0,265
N(4)*	-0,014	C(15)	0,166
O(2)*	0,027	H(5)	-0,101

Cette partie de la molécule est beaucoup moins déformée et les longueurs de liaison ainsi que les angles de valence n'ont pas des valeurs significativement différentes de celles trouvées par Mason.

Notons que la différence entre les deux liaisons C=O de la succinimide (1,211 et 1,243, moyenne 1,227 Å) ne se retrouve pas ici (1,202 et 1,199, moyenne 1,200 Å).

**Mouvement thermique et correction des longueurs de liaison dans le cycle benzénique**

L'amplitude et l'orientation des ellipsoïdes de vibration ont été calculées pour chaque atome à partir des paramètres d'agitation thermique anisotrope (Tableau 9). L'anisotropie est très marquée pour Cl(1) et dans le cycle benzénique pour C(7), C(8), C(10) et C(11), marquée pour C(6), faible pour C(9) et C(12).

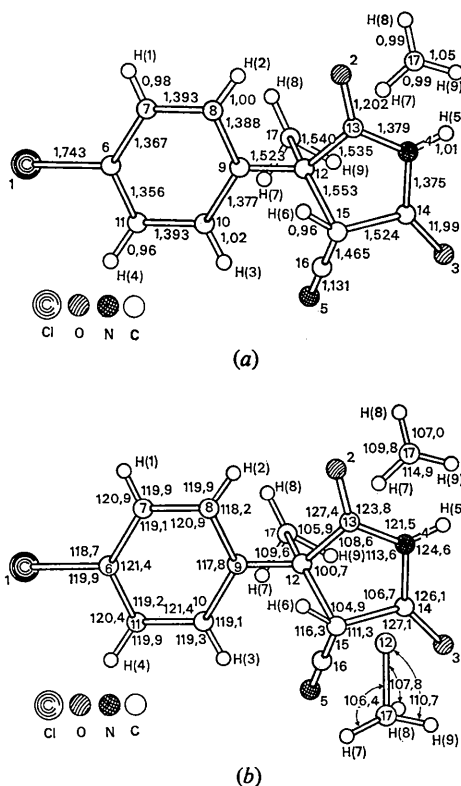


Fig. 1. (a) Longueurs des liaisons (Å), (b) angles des liaisons (°).

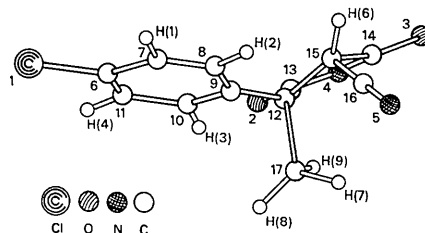


Fig. 2. Déformation de l'hétérocycle.

Tableau 9. Amplitude et orientation des axes principaux des ellipsoïdes de vibration

$\theta_{ix}\theta_{iy}\theta_{iz}$  sont les cosinus directeurs de l'axe principal  $i$  dans le système d'axes cristallographiques  $a, b, c^*$ .

	$i$	$B_i$	$\theta_{ix}$	$\theta_{iy}$	$\theta_{iz}$
Cl(1)	1	0,0337	0,7920	-0,0994	0,6022
	2	0,0940	0,1635	0,9851	-0,0524
	3	0,0562	-0,5880	0,1400	0,7965
O(2)	1	0,0290	0,8508	-0,1237	-0,5105
	2	0,0732	0,0201	0,9788	-0,2036
	3	0,0435	0,5249	0,1630	0,8353
O(3)	1	0,0382	0,5321	0,4287	0,7300
	2	0,0860	0,0536	0,8435	-0,5344
	3	0,0512	0,8449	-0,3235	-0,4258
N(4)	1	0,0297	0,8600	-0,1836	-0,4760
	2	0,0525	0,0159	0,9422	-0,3345
	3	0,0412	0,5100	0,2801	0,8132
N(5)	1	0,0386	-0,3250	0,2285	0,9176
	2	0,0782	0,9305	0,2505	0,2671
	3	0,0708	-0,1688	0,9407	-0,2941
C(6)	1	0,0347	0,7516	-0,1674	0,6379
	2	0,0547	0,2962	0,9499	-0,0997
	3	0,0455	-0,5892	0,2639	0,7636
C(7)	1	0,0387	-0,0431	0,2465	0,9681
	2	0,0815	0,1429	0,9606	-0,2382
	3	0,0395	0,9887	-0,1281	0,0766
C(8)	1	0,0377	0,8754	0,0112	0,4831
	2	0,0657	0,1998	0,9018	-0,3830
	3	0,0401	-0,4400	0,4318	0,7873
C(9)	1	0,0303	-0,6306	0,1012	0,7694
	2	0,0399	0,4596	0,8475	0,2651
	3	0,0364	0,6253	-0,5208	0,5810
C(10)	1	0,0352	0,7355	-0,2958	-0,6094
	2	0,0815	0,3237	0,9437	-0,0674
	3	0,0401	0,5951	-0,1476	0,7899
C(11)	1	0,0349	0,9041	-0,3941	-0,1647
	2	0,0996	0,3534	0,9067	-0,2300
	3	0,0400	0,2400	0,1497	0,9591
C(12)	1	0,0271	-0,3072	0,3003	0,9029
	2	0,0380	0,8209	0,5634	0,0919
	3	0,0346	-0,4811	0,7696	-0,4197
C(13)	1	0,0298	0,8028	-0,4009	-0,4412
	2	0,0455	0,4178	0,9063	-0,0632
	3	0,0382	0,4252	-0,1336	0,8951
C(14)	1	0,0362	0,9665	0,1163	0,2284
	2	0,0468	-0,0415	0,9503	-0,3083
	3	0,0408	-0,2530	0,2884	0,9234
C(15)	1	0,0249	-0,2115	0,0314	0,9768
	2	0,0489	0,1021	0,9947	-0,0099
	3	0,0359	0,9720	-0,0976	0,2136
C(16)	1	0,0311	-0,0747	0,1078	0,9913
	2	0,0535	0,7052	-0,7085	-0,0238
	3	0,0373	0,7049	-0,6974	0,1290
C(17)	1	0,0285	0,2766	0,9158	-0,2909
	2	0,0544	0,8263	-0,0721	0,5585
	3	0,0468	-0,4905	0,3949	0,7767

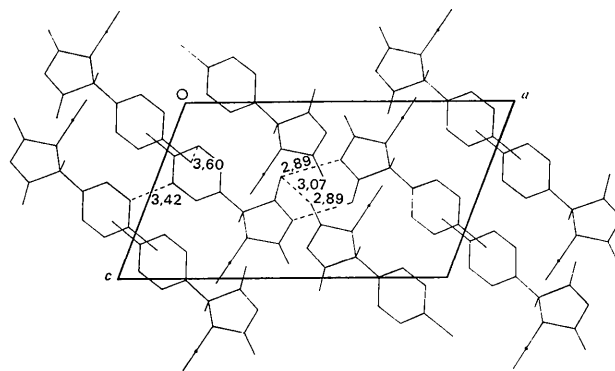


Fig. 4. Projection (010) de la structure.

Les directions de vibration maximale pour les atomes fortement anisotropes font avec la normale au cycle un angle inférieur à 15°. Une analyse des vibrations de l'ensemble du cycle et de l'atome de chlore, considéré comme rigide, a été entreprise suivant la méthode de Cruickshank (1956), le centre de libration devant être recherché au voisinage des atomes les moins agités C(9) et C(12). L'axe  $Ox$  est pris perpendiculaire au plan du cycle,  $Oy$  suivant C(6)-C(9). Le déplacement du centre de libration entre C(9) et C(12) fait très peu varier la déviation standard  $\sigma(U)$  sur les différences ( $U_{ij}$  observé -  $U_{ij}$  calculé), le terme prépondérant  $\omega_{22}$  ne dépendant pas de la position de ce centre. Ce dernier étant situé à 0,8 Å de C(9),  $\sigma(U)$  prend la valeur minimale 0,0030 Å<sup>2</sup>. Les tenseurs de translation et de libration correspondants sont donnés dans le Tableau 10. Les corrections de longueurs de liaison ayant été effectuées (Cruickshank 1961), les nouvelles distances interatomiques sont indiqués dans le Tableau 4. Seul le raccourcissement de la liaison C(6)-C(11) (1,364 Å) reste assez considérable, ce qui est sans doute en rapport avec le fait que C(11) a le facteur d'agitation thermique le plus élevé du cycle benzénique et que l'analyse effectuée ne constitue qu'une approximation du mouvement réel.

**Organisation de la structure**

Les Fig. 3 et 4 représentent les projections (001) et (010) de la structure. Les molécules s'associent deux par deux, de part et d'autre d'un centre de symétrie, en échangeant deux liaisons hydrogène N-H...O, la distance N...O valant 2,89 Å et l'angle N-H...O 160° ( $\sigma=9^\circ$ ) (Tableau 11). Aucune autre distance intermoléculaire n'est significativement inférieure à la somme des rayons de van der Waals, les valeurs minimales étant:

O...O, 3,07; C...C, 3,42; N...O, 3,24; Cl...C, 3,60 Å.

Les auteurs remercient Monsieur Delugeard pour sa participation à l'exploitation des programmes, Monsieur le Professeur Foucaud, qui a fourni les échantil-

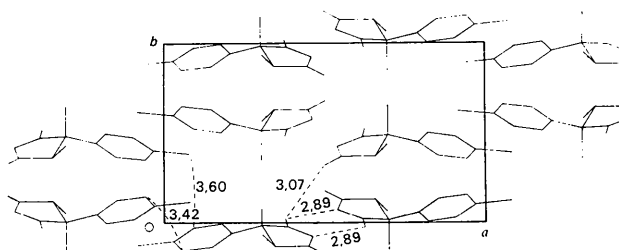


Fig. 3. Projection (001) de la structure.

Tableau 10. Paramètres d'agitation thermique du cycle benzénique supposé rigide

Coordonnées du centre de libration dans  $a, b, c^*$ : 3,886, 4,656, 0,537.

$$T = \begin{pmatrix} 3,34 & 0,17 & -0,27 \\ & 3,69 & 0,04 \\ & & 3,36 \end{pmatrix} 10^{-2} \text{ \AA}^2$$

$$L = \begin{pmatrix} 2,95 & -0,18 & 0,88 \\ & 85,26 & 5,71 \\ & & 6,55 \end{pmatrix} (^{\circ})^2$$

$$\sigma(T) = \begin{pmatrix} 0,26 & 0,12 & 0,16 \\ & 0,11 & 0,11 \\ & & 0,16 \end{pmatrix} 10^{-2} \text{ \AA}^2$$

$$\sigma(L) = \begin{pmatrix} 0,41 & 1,70 & 0,41 \\ & 6,14 & 0,90 \\ & & 0,48 \end{pmatrix} (^{\circ})^2$$

Tableau 11. Liaisons hydrogènes et plus courtes distances intermoléculaires

O(2, I)—N(4, V)	2,89 \AA	O(2, I)—O(2, V)	3,47 \AA
N(4, I)—O(2, V)	2,89	O(2, I)—O(3, IV)	3,50
O(2, I)—O(3, VI)	3,07	N(4, I)—O(3, VI)	3,57
O(3, I)—O(2, VII)	3,07	O(2, I)—C(13, V)	3,59
N(4, I)—O(3, IV)	3,24	C(7, I)—Cl(1, VIII)	3,60
C(11, I)—C(11, IX)	3,42		
I	$x$	$\frac{1}{2}-y$	$\frac{1}{2}+z$
II	$x$	$y$	$z$
III	$x$	$1+y$	$z$
IV	$x$	$y-1$	$z$
V	$1-x$	$y-\frac{1}{2}$	$\frac{1}{2}-z$
VI	$1-x$	$1-y$	$1-z$
VII	$1-x$	$-y$	$1-z$
VIII	$-x$	$1-y$	$-z$
IX	$-x$	$y-\frac{1}{2}$	$\frac{1}{2}-z$

lons cristallins et Monsieur le Professeur Meinel qui a suscité et dirigé ce travail.

#### Références

- BRETON-LACOMBE, M. (1967). *Acta Cryst.* **23**, 1024.  
 CRUICKSHANK, D. W. J. (1956). *Acta Cryst.* **9**, 754.  
 CRUICKSHANK, D. W. J. (1961). *Acta Cryst.* **14**, 896.  
 CHAWDHURY, S. A., HARGREAVES, A. & HASAN RIZIR, S. (1968). *Acta Cryst.* **B24**, 1633.  
 FAYAT, C. (1969). Thèse d'Etat, Rennes.  
*International Tables for X-ray Crystallography* (1962). Vol. III. Birmingham: Kynoch Press.  
 MASON, R. (1961). *Acta Cryst.* **14**, 720.  
 SASS, R. L. & BUGG, C. (1967). *Acta Cryst.* **23**, 282.

*Acta Cryst.* (1971). B27, 806

## The Crystal and Molecular Structure of Dibromodulcitol $C_6H_{12}O_4Br_2$ and Dichlorodulcitol $C_6H_{12}O_4Cl_2$

BY K. SIMON

*Chinoïn Factory for Pharmaceutical and Chemical Products, Budapest, Hungary*

AND K. SASVÁRI

*Central Research Institute for Chemistry of the Hungarian Academy of Sciences, Budapest, Hungary*

(Received 10 August 1970)

Dibromodulcitol (DBD) and dichlorodulcitol (DCD) are isomorphous and crystallize in the monoclinic space group  $P2_1/c$  with 2 molecules in unit cells of dimensions  $a=4.874$ ,  $b=5.269$ ,  $c=19.812$  \AA and  $\beta=98.05^\circ$  for DBD and  $a=4.889$ ,  $b=5.119$ ,  $c=19.043$  \AA and  $\beta=96.8^\circ$  for DCD. Both molecules have  $\bar{1}$  symmetry and form planar zigzag carbon chains. The halogen atoms at the end of the chain are outside of the carbon plane in an almost equi-distant position to the two nearest oxygen atoms of the molecule. The molecules form two-dimensional molecular networks parallel to the (001) plane. In the networks each molecule is linked to four neighbouring molecules by two hydrogen bonds, respectively, forming in this way closed circuits with hydrogen bonds. The networks are held together by van der Waals forces. All hydroxyl oxygens act both as donors and acceptors and in the closed circuits the proton positions could be determined. The mean lengths of C—C, C—O and halogen—C bonds are 1.540, 1.413 and 1.975 \AA in DBD and 1.534, 1.432 and 1.820 \AA in DCD. The C—C—C bond angles are on average  $111.0$  and  $111.5^\circ$  for DBD and DCD, respectively.

#### Introduction

Dibromodulcitol (1,6-dibromo-1,6-dideoxy-D-galactitol) and dichlorodulcitol (1,6-dichloro-1,6-dideoxy-D-

galactitol) were produced for pharmacological purposes (Institoris, 1967; Institoris, Horváth & Csányi, 1967) by substituting OH at the two ends of the galactitol molecule by halogen atoms. The Fischer formula